

ДЭЯР ИОНА Co^{2+} В КРИСТАЛЛЕ CsCaCl_3 ПОСЛЕ ФАЗОВОГО ПЕРЕХОДА

С. М. Ахмин, В. П. Мейкляр, А. Е. Усачев, Ю. В. Яблоков

Исследование методом ДЭЯР последствий низкотемпературных структурных фазовых переходов (ФП) в кристаллах хлоридов представляет двойкий интерес. Так, с одной стороны, возможно получение практически отсутствующей информации о лигандном (ЛВ) и квадрупольном (КВ) взаимодействиях парамагнитная примесь—хлор. С другой стороны, детальное изучение структурных превращений ближайшего окружения примеси позволяет судить о природе ФП.

В настоящей работе методом ДЭЯР исследовался кристалл $\text{CsCaCl}_3 : \text{Co}^{2+}$ (0.5 %). Кристаллы выращивались методом Бриджмена из обезвоженной шихты. Кристаллическая матрица CsCaCl_3 имеет структуру перовскита, и в процессе ФП (98 К) [1] симметрия кристалла понижается от кубической O_h^1 до тетрагональной D_{4h}^8 ($a=0.5360$ нм, $c=0.5395$ нм). Пара-

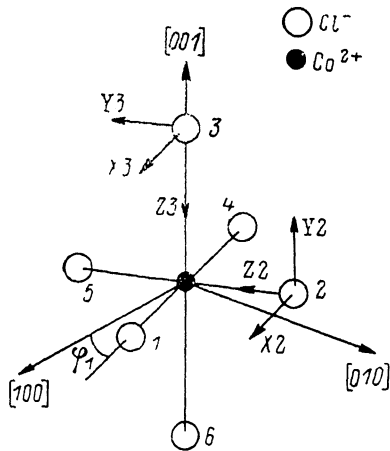


Рис. 1. Структура ближайшего окружения иона Co^{2+} в кристалле CsCaCl_3 .

метром порядка ФП является угол разворота анионных октаэдров φ_1 (рис. 1).

Спектр ЭПР иона Co^{2+} в кристалле CsCaCl_3 описывается спиновым гамильтонианом аксиальной симметрии со следующими значениями параметров g -тензора и сверхтонкой структуры: $g_{\parallel}=4.33$ (1), $g_{\perp}=4.48$ (1), $A_{\parallel}=6.33$ (5) мТл, $A_{\perp}=6.87$ (5) мТл.

ДЭЯР ^{35}Cl наблюдался при $T=4$ К в диапазоне частот 0.5—25.0 МГц. Угловая зависимость частот переходов ДЭЯР от направления постоянного магнитного поля исследовалась на образце, имеющем двухдоменную структуру, в плоскостях доменов (010) и (001) (рис. 2). Спиновый гамильтониан, описывающий всю совокупность наблюдаемых методов ДЭЯР взаимодействий в комплексе $\text{Co}^{2+}\text{Cl}_7^-$ после ФП, имеет вид

$$\mathcal{H} = g_{\parallel}^{\text{Co}} \mathbf{H}S + S A I^{\text{Co}} + I^{\text{Co}} P I^{\text{Co}} - G^{\text{Co}} \beta_{\text{a}} \mathbf{H} I^{\text{Co}} + \sum_{i=1}^6 (S_i T_i I_i^{\text{Cl}} + I_i^{\text{Cl}} Q_i I_i^{\text{Cl}} - G_i^{\text{Cl}} \beta_{\text{a}} \mathbf{H} I_i^{\text{Cl}}). \quad (1)$$

Здесь $G^{\text{Co}} = g_{\text{a}}^{\text{Co}} + \Delta g^{\text{Co}}$; $G_i^{\text{Cl}} = g_{\text{a}}^{\text{Cl}} + \Delta g_i^{\text{Cl}}$; Δg^{Co} и ΔG_i^{Cl} — поправки, обусловленные псевдозеemannовским взаимодействием [2], возникающим во втором порядке теории возмущений благодаря интерференции электронного зеemannовского и сверхтонкого, электронного зеemannовского и лигандного сверхтонкого взаимодействий соответственно. Поскольку после ФП локальная симметрия каждого из ионов Cl_7^- понижается до C_s , то в системе координат комплекса тензор ЛВ T_i содержит пять компонент. Вид тензоров Q_i и G_i^{Cl} подобен тензору ЛВ.

Усреднение по электронным переменным с точностью до поправок второго приближения приводит к одночастичному ядерному спиновому гамильтониану. Для ионов Cl_7^- домена с $\mathbf{H} \perp [001]$ он имеет вид

$$\begin{aligned} \mathcal{H}_a^{1,4} = & \{ (T_1 \cos \varphi + T_5 \sin \varphi) \langle S_x \rangle - \mu T_3 (T_2 \cos \varphi - T_4 \sin \varphi) - \\ & - \beta_a H_m (g_1 \cos \varphi + g_5 \sin \varphi) \} I_x + \{ (T_2 \sin \varphi + T_4 \cos \varphi) \langle S_x \rangle - \mu T_3 (T_1 \sin \varphi - T_5 \cos \varphi), \\ & - \beta_a H_m (g_2 \sin \varphi + g_4 \cos \varphi) \} I_y + \frac{1}{3} (Q_1 I_x^2 + Q_2 I_y^2 + Q_3 I_z^2 + Q_4 I_x I_y + Q_5 I_y I_x). \quad (2) \end{aligned}$$

Здесь $\vartheta = 90^\circ$, φ — угол поля (ϑ, φ — полярные углы), $\mu = \{ S(S+1) - M^2 \} / 2g\beta H_m$.

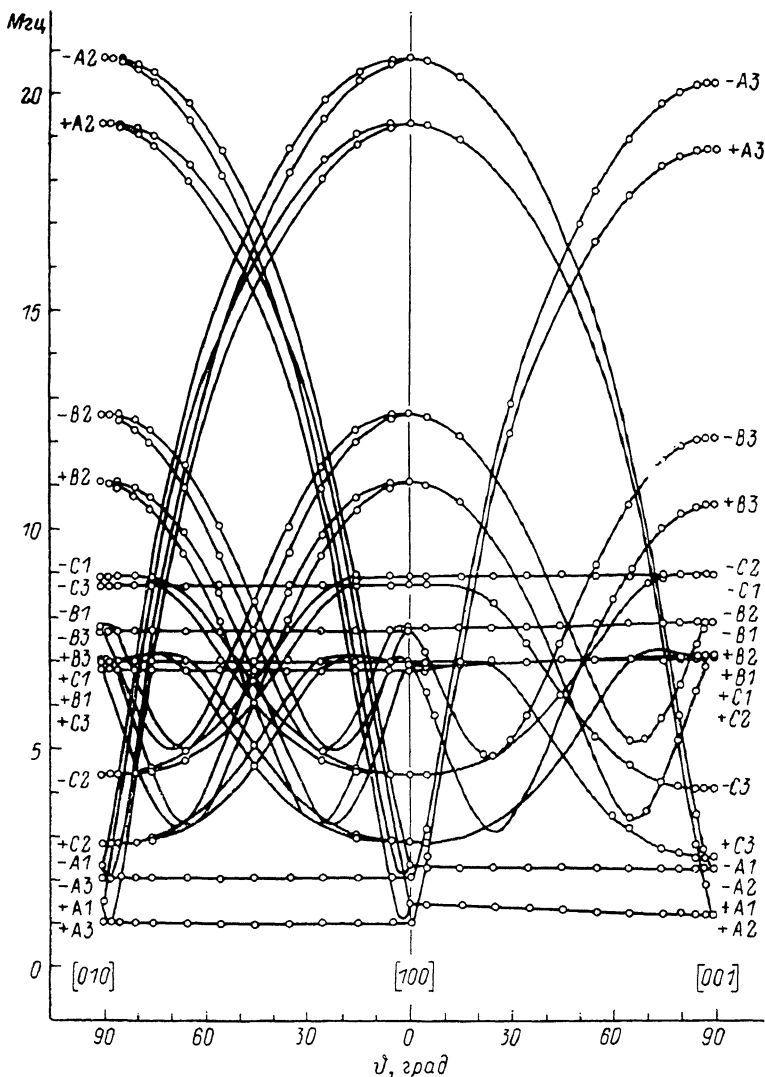


Рис. 2. Угловая зависимость частот переходов ДЭЯР ^{35}Cl от направления постоянного магнитного поля.

«+», «-» соответствуют $M = \pm 1/2$; A, B, C — переходы по ядерному квантовому числу ^{35}Cl $3/2 \leftrightarrow 1/2$, $1/2 \leftrightarrow -1/2$, $-1/2 \leftrightarrow -3/2$ соответственно. 1 — ядра 1, 4; 2 — ядра 2, 5; 3 — ядра 3, 6.

Гамильтонианы взаимодействий Co^{2+} с $\text{Cl}_{2,5}^-$ и $\text{Cl}_{3,6}^-$ были записаны путем соответствующих поворотов тензоров T_i , Q_i и G_i^{Cl} в системе координат комплекса. Для домена с $\mathbf{H} \perp [010]$ при получении одночастичного ядерного спинового гамильтониана полагалось $\varphi = 0$. ϑ — угол поля. $\langle S_x \rangle$ учитывает перемешивание волновых функций основного магнитного дублета G_i иона Co^{2+} за счет анизотропного сверхтонкого взаимодействия

$$\langle S_x \rangle = \frac{M \{ g\beta H_m + (A_{\parallel} - 2P)(m + M) \}}{\{ A_{\perp}^2 |I(I+1) - m(m+2M)| + |g\beta H_m + (A_{\parallel} - 2P)(m + M)|^2 \}^{1/2}}. \quad (3)$$

Так же как и в [2], выражение (3) получено на основе точного решения матрицы спинового гамильтониана для электронного спина $S=1/2$ и произвольного ядерного спина примесного иона. В (2), (3) M и m — электронное и ядерное квантовые числа Co^{2+} ; H_m — экспериментальное магнитное поле сверхтонкой линии ЭПР.

Для корректного расчета $\langle S_z \rangle$ необходимо знать величину параметра $K_B - P$. Однако в спектрах ЭПР K_B не проявляется. Для нахождения параметра K_B , а также уточнения значений параметров g_{\parallel} , g_{\perp} , A_{\parallel} , A_{\perp} и выяснения доли псевдодозеэмановского взаимодействия в эффективном ядерном g -факторе иона Co^{2+} был исследован «собственный» ДЭЯР ^{59}Co . Численная диагонализация матриц гамильтонианов (2) и «собственной» части гамильтониана (1) позволила определить параметры, приведенные

Параметры взаимодействий в кристалле $\text{CsCaCl}_3 : \text{Co}^{2+}$

| Ядро | ^{59}Co | ^{35}Cl (3, 6) | ^{35}Cl (1, 2, 4, 5) |
|------------------------------------|------------------|-------------------------|-------------------------------|
| симметрия | D_{4h} | C_{4v} | C_s |
| g_{\parallel} | 4.3300 (3) | | |
| g_{\perp} | 4.4755 (10) | | |
| A_{\parallel} , МГц | 384.10 (3) | | |
| A_{\perp} , МГц | 430.89 (6) | | |
| P , МГц | 0.04 (2) | | |
| $\Delta g_{\parallel}^{\text{эф}}$ | 0.56 (2) | | |
| $\Delta g_{\perp}^{\text{эф}}$ | 0.58 (2) | | |
| t_1 , МГц | | 9.25 (1) | 9.52 (2) |
| t_2 , МГц | | 9.25 (1) | 9.35 (2) |
| t_3 , МГц | | 22.785 (5) | 23.745 (5) |
| $ g_1 $, МГц | | 4.075 (5) | 4.110 (5) |
| $ g_2 $, МГц | | 4.075 (5) | 4.100 (5) |
| $ g_3 $, МГц | | 8.150 (5) | 8.21 (1) |
| Δg_1 | | 0 | 0 |
| Δg_2 | | 0 | 0 |
| Δg_3 | | 0.007 (3) | 0.012 (3) |
| φ_1 , град | | | 1.8 (2) |

в таблице. Описание экспериментальной угловой зависимости (рис. 2) привело к симметричному виду тензоры T_i , Q_i и G_i^{Cl} , что позволило выразить их компоненты через параметр порядка ФП. Так, например, компоненты тензора ЛВ имеют вид

$$T_1 = t_1 \cos^2 \varphi_1 + t_2 \sin^2 \varphi_1, \quad T_2 = t_1 \sin^2 \varphi_1 + t_2 \cos^2 \varphi_1, \quad T_3 = t_3, \\ T_4 = T_5 = (t_2 - t_1) \sin \varphi_1 \cos \varphi_1.$$

В таблице параметры приведены в локальных системах координат.

В заключение обсудим величину параметра порядка ФП, которую фиксируют ЭПР или ДЭЯР при внедрении парамагнитной примеси. По-видимому, в этом случае следует говорить об особенностях ФП вблизи магнитного иона. Действительно, в кристалле $\text{CsCaCl}_3 : \text{Gd}^{3+}$ [1] при $T=4$ К $\varphi_1=9.5$ (3) $^\circ$, в кристалле $\text{CsCaCl}_3 : \text{Co}^{2+}$ $\varphi_1=1.8$ (2) $^\circ$, модель «жестких октаэдров» [3] на основе данных рентгеновской дифрактометрии приводит к $\varphi_1=6$ (1) $^\circ$. В [4] ($\text{RbCdF}_3 : \text{Mn}^{2+}$) модель «жестких октаэдров» дает $\varphi_1=7.2$ $^\circ$, а ДЭЯР для первой и второй координационных сфер окружения примеси фиксирует соответственно $\varphi_1=4.7$ (1) $^\circ$ и $\varphi_1=5.2$ (3) $^\circ$. Таким образом, как уже отмечалось в [4], при внедрении изовалентной примеси, ионный радиус которой значительно меньше замещаемого иона, происходит сжатие ближайшего окружения примесного иона, что приводит к уменьшению параметра порядка. При внедрении трехвалентного иона параметр порядка, по-видимому, может превышать истинный (без

магнитного иона). Это связано с тем, что в отсутствие в ближайшем окружении примеси иона-компенсатора избыточного заряда существенную роль начинает играть вторая (положительно заряженная) сфера.

Л и т е р а т у р а

- [1] *Усачев А. Е., Яблоков Ю. В.* ФТТ, 1982, т. 24, № 5, с. 1492—1494.
- [2] *Secemski E., Low W.* Phys. Rev. B, 1974, vol. 9, N 11, p. 4954—4963.
- [3] *Meiklyar V. P., Usachev A. E., Yablokov Yu. V., Shustov V. A.* Phys. St. Sol. (b), 1985, vol. 132, N 2, p. K73—K76.
- [4] *Studzinski P., Spaeth J. M.* Rad. Eff., 1983, vol. 73, N 1—4, p. 207—213.

Казанский физико-технический институт
им. Е. К. Завойского КФ АН СССР
Казань

Поступило в Редакцию
2 февраля 1988 г.

УДК 537.632

Физика твердого тела, том 30, в. 7, 1988
Solid State Physics, vol. 30, № 7, 1988

ВЛИЯНИЕ ИОНОВ Вi НА МАГНИТООПТИЧЕСКИЕ СВОЙСТВА ПЕРОВСКИТОВ $ACu_3Mn_4O_{12}$

Е. А. Балыкина, Е. А. Ганьшина, Г. С. Кринчик, И. О. Троянчук

Введение ионов Вi в редкоземельные ферриты-гранаты приводит к существенному увеличению магнитооптической добротности этих материалов [1]. Для объяснения наблюдаемых аномалий предложено несколько механизмов, но все они пока не имеют надежного экспериментального подтверждения. Ионы Вi не оказывают заметного влияния на величину магнитооптических эффектов в ортоферритах [2], но вызывают увеличение магнитооптической активности перовскитов типа $(LaSr) \cdot MnO_3$ [3]. Поэтому представляло интерес изучить влияние висмута на магнитооптическую активность нового класса магнитных окислов. Соединения перовскитного типа с общей формулой $[AC_3](B_4)O_{12}$, где $[AC_3]$ и (B) занимают А и В места идеальной ABO_3 перовскитной структуры соответственно $A=Ca^{2+}$, Y^{3+} , Bi^{3+} , R^{3+} , $C=Ca^{2+}$, Mn^{3+} , $B=Mn^{3+}$, Mn^{4+} , являются магнитными полупроводниками с относительно высокими температурами Нееля. Соединение $YCu_3Mn_4O_{12}$ — коллинеарный ферримангнетик с температурой Нееля $T_N=400$ К. Магнитный момент на формульную единицу составляет $9\mu_B$ при $T=78$ К. Замена иттрия на висмут приводит к снижению T_N до 380 К.

В настоящей работе приведены результаты изучения магнитооптических свойств перовскитов $ACu_3Mn_4O_{12}$, где А — редкоземельный ион (Gd, Ho), итрий или висмут. Поликристаллические образцы были получены методом твердофазных реакций при высоких давлениях и температурах. Измерения магнитооптических эффектов были проведены на автоматизированной магнитооптической установке, собранной на базе монохроматора ДМР-4, в которой сбор и обработка информации проводились с помощью микроЭВМ «Электроника ДЗ-28». В экспериментальной установке использовался динамический метод регистрации магнитооптических эффектов [4]. Переменная составляющая сигнала возникала при перемагничивании образца магнитным полем с частотой 30 Гц. Максимальная амплитуда переменного магнитного поля в зазоре электромагнита достигала 4 кЭ. Чувствительность установки 10^{-5} . Магнитооптические спектры измерялись в спектральном диапазоне 1.5—4.5 эВ при фиксированном угле падения света 70° .